

Questions MSE205 ResMat2025

1

Lundi 12 mai: Réponses à vos questions rassemblées sur

Le fichier partagé MSE 205 ResMat, Revision, Questions :
(avec votre adresse...@epfl.ch)

<https://docs.google.com/spreadsheets/d/1LHQFQ5gnNkilUtY5Z1SWU3cbkvB4aol0rhD8uIN2iBQ/edit?usp=sharing>

Quand utiliser Castigliano ?

2

Flexion	
Theorie	castigliano vs superposition

— single load P

$$U = \frac{P\delta}{2}$$

↓

$$\delta = \frac{2U}{P}$$

$$U = \frac{\pi\theta}{2}$$

↓

$$\theta = \frac{2U}{\pi}$$

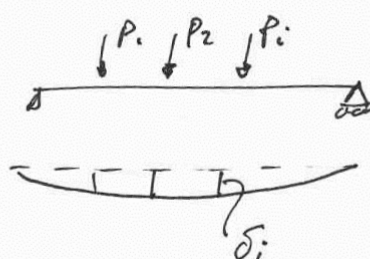
δ = déplacement au point où P est appliquée

θ = angle rotatif au point où P est appliquée

Pour calculer les déplacements localisés via l'énergie de déformation des poutres dont le système de charges est plus complexe que ceux des 6 cas et de leurs superpositions.

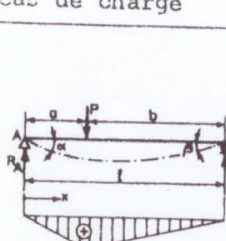
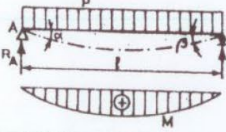
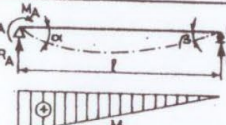
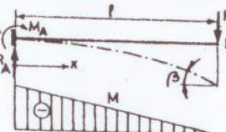
— Castigliano

$$\delta_i = \frac{\partial U}{\partial P_i}$$



Theorème de Castigliano : La dérivée partielle du travail **des forces extérieures** par rapport à une force est égale au déplacement du point d'application selon la ligne d'action de cette force. Ainsi la dérivée partielle du travail des forces extérieures par rapport à un couple (mécanique) détermine la rotation de la poutre au point de la section où s'applique ce couple.

Flexion

cas de charge	Reactions	M_{max}	Elastique	rotations	flexes
	$R_A = \frac{Pb}{l}$ $R_B = \frac{Pa}{l}$	$+ \frac{Pab}{l}$ pour $x=a$	pour $x < a$: $y_1 = \frac{P}{6EI} (2ab^2x + a^2bx - bx^3)$ pour $x > a$: $y_2 = \frac{P}{6EI} (2a^2b(l-x) + ab^2(l-x) - a(l-x)^3)$	$\alpha = \frac{Pab(l+b)}{6EI}$ $\beta = -\frac{Pab(l+a)}{6EI}$	Pour $x=a$ $f_a = \frac{P a^2 b^2}{3 l E I}$ $f = f_{max}$ pour $x=a$ $\sqrt{\frac{1}{3} + \frac{2b}{3a}}$ si $a > b$ pour $x=l-b$ $\sqrt{\frac{1}{3} + \frac{2a}{3b}}$ si $a < b$ Si $a=b=l/2$ $f_{max} = \frac{P l^3}{48 EI}$
	$R_A = \frac{P\ell}{2}$ $R_B = \frac{P\ell}{2}$	$+ \frac{P\ell^2}{8}$	$y = \frac{P}{24EI} (x^4 - 2\ell x^3 + \ell^3 x)$	$\alpha = \frac{P\ell^3}{24EI}$ $\beta = -\frac{P\ell^3}{24EI}$	$f_{max} = \frac{5}{384} \frac{P\ell^4}{EI}$ pour $x = \frac{\ell}{2}$
	$R_A = -\frac{M}{\ell}$ $R_B = +\frac{M}{\ell}$	M_A	$y = \frac{M}{6EI} (x^3 - 3\ell x^2 + 2\ell^2 x)$	$\alpha = \frac{M\ell}{3EI}$ $\beta = -\frac{M\ell}{6EI}$	$f_{max} = \frac{M\ell^2 \sqrt{3}}{27EI}$ pour $x = \ell (1 - \frac{\sqrt{3}}{3})$
	$R_A = P$ $M_A = -P\ell$	$-P\ell$ pour $x=0$	$y = \frac{P}{6EI} (3\ell x^2 - x^3)$	$\alpha = 0$ $\beta = \frac{P\ell^2}{2EI}$	$f_{max} = \frac{P\ell^3}{3EI}$ pour $x = \ell$
	$R_A = P\ell$ $M_A = -\frac{P\ell^2}{2}$	$-\frac{P\ell^2}{2}$ pour $x=0$	$y = \frac{P}{24EI} (6\ell^2 x^2 - 4\ell x^3 + x^4)$	$\alpha = 0$ $\beta = \frac{P\ell^3}{6EI}$	$f_{max} = \frac{P\ell^4}{8EI}$ pour $x = \ell$
	$R_A = 0$ $M_A = M$	$M=const.$	$y = \frac{-M}{2EI} x^2$	$\alpha = 0$ $\beta = -\frac{M\ell}{EI}$	$f_{max} = \frac{-M\ell^2}{2EI}$ pour $x = \ell$

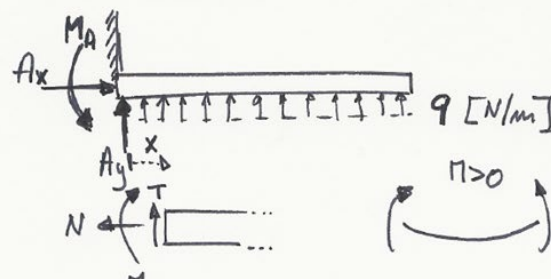
Intensités équivalentes de moments

4

distributions de charges

Les relations sur l'image sont-elles toujours vraies aussi si il y a des encastrements ?

Encastrement



$$N = -Ax = 0$$

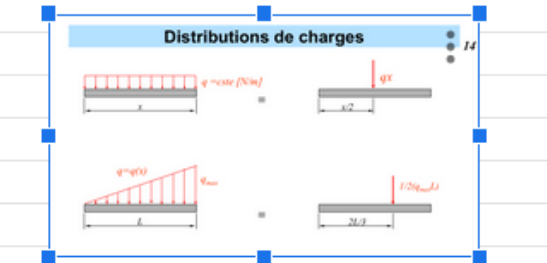
$$T = Ay + qx = -qL + qx$$

$$M = -Ma + Ayx + qx \frac{x}{2}$$

$$= \frac{qL^2}{2} - qLx + \frac{qx^2}{2}$$

$$\begin{aligned} Ax &= 0 \\ Ay &= -qL \\ -Ma &= qL \cdot \frac{L}{2} = q \frac{L^2}{2} \end{aligned}$$

$$\begin{aligned} \text{en A } x &= 0 \Rightarrow T = -qL \\ \text{en B } x &= L \Rightarrow T = 0 \\ \text{en A } x &= 0 \Rightarrow N = qL^2 \\ \text{en B } x &= L \Rightarrow N = 0 \end{aligned}$$

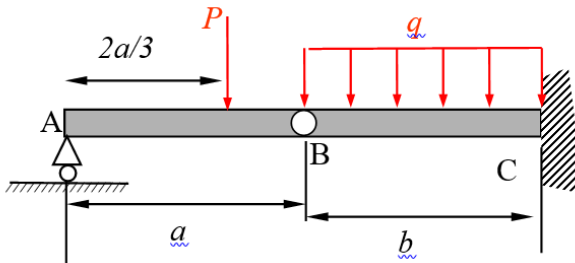


M_A : Réaction agissant sur la poutre

! $M(x)$

9.1 Superposition

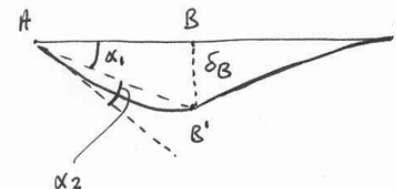
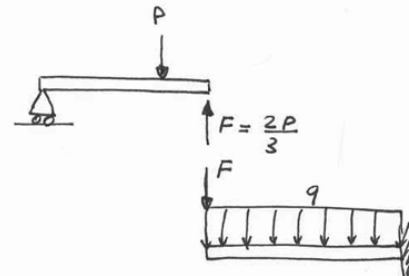
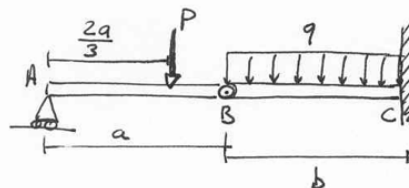
Une poutre en appui en A et encastrée en C est constituée de deux éléments reliés par une charnière en B. Elle subit une charge ponctuelle P et une charge continue q . Déterminez les équations qui vous permettent de calculer le déplacement vertical de B et l'angle de la déformée en A.



**charnière =
réaction F et action F,
sans moment transmis,
comme si 2 poutres...**

Superpositions.

La charnière en B permet les rotations tout en liant les deux poutres. L'équilibre de la poutre AB permet de déterminer la force F qui agit sur la poutre BC. Le déplacement de B est calculé via la poutre BC. L'angle en A est donné par ce déplacement auquel s'ajoute la contribution de P sur la poutre AB qui est en flexion 3 points.



$$\bullet P \cdot \frac{2a}{3} = F \cdot a$$

$$F = \frac{2P}{3}$$

$$\bullet \text{cas 5 et 4} \Rightarrow \delta_B = \frac{q b^4}{8 E I} + \frac{F b^3}{3 E I}$$

$$= \frac{q b^4}{8 E I} + \frac{2 P b^3}{9 E I}$$

$$\bullet \alpha_1 = \frac{\delta_B}{a} = \frac{q b^4}{8 a E I} + \frac{2 P b^3}{9 a E I}$$

$$\text{cas 1} \Rightarrow \alpha_2 = \frac{P a b (l+b)}{6 L E I}$$

$$\text{avec } a = \frac{2a}{3}, \quad b = \frac{a}{3}, \quad l = a$$

$$\alpha_2 = \frac{4 P a^2}{81 E I}$$

$$\alpha_A = \alpha_1 + \alpha_2$$

Une colonne verticale de section en I et d'une longueur de 8 mètres est supportée à ses 2 extrémités et compressée par une force axiale P . A sa mi-hauteur B elle est maintenue latéralement selon l'axe 1-1.

La colonne est en acier (Module 200 GPa et seuil plastique 300 MPa). Ses caractéristiques géométriques sont $I_1 = 3060 \text{ cm}^4$, $I_2 = 162 \text{ cm}^4$, $S = 39.5 \text{ cm}^2$

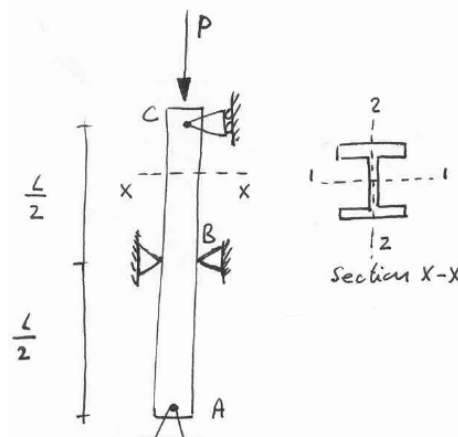
Déterminer la charge de flambage critique en prenant un facteur de sécurité de 2.5.

La poutre est supportée en A et C sans encastrement. Les rotations en A et C sont donc possibles.

Le moment d'inertie I_1 est plus grand que I_2 , les axes 1-1 et 2-2 sont donc identifiés.

Selon les résultats, le flambage sur $L/2$ débute à une charge critique avant celui sur L.

La contrainte dans le matériau va augmenter jusqu'au flambage sur L.



- Flambage dans le plan de la figure

$$P_{cr1} = \frac{\pi^2 E I_2}{(L/2)^2} = \frac{4\pi^2 E I_2}{L^2}$$

$$P_{cr1} = 200 \text{ kN}$$

- Flambage perpendiculaire

$$P_{cr2} = \frac{\pi^2 E I_1}{L^2} = 943,8 \text{ kN}$$

$$\Rightarrow \text{P critique est } P_{cr1} = 200 \text{ kN} < P_{cr2}$$

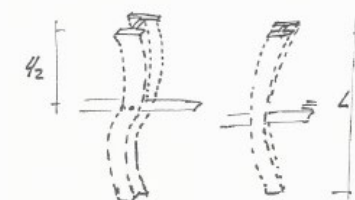
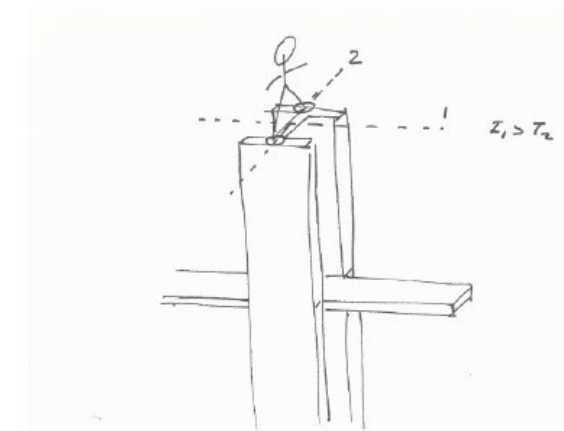
- Contrainte critique

$$\sigma_{cr} = \frac{P_{cr2}}{S} = 238,9 \text{ MPa} \leq 300 \text{ MPa}$$

- charge admise

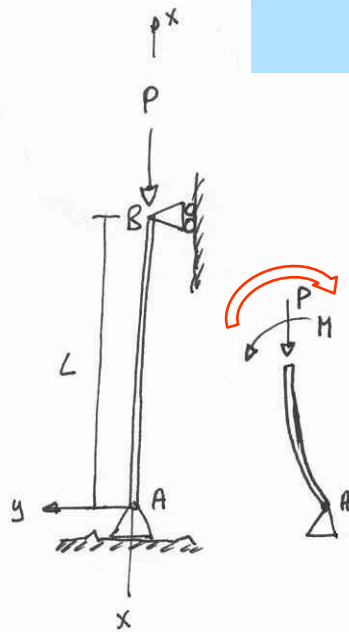
$$P_a = \frac{P_{cr2}}{2,5} = 79,9 \text{ kN}$$

axe 1-1 ? Supports ?



Flambage

7



$$EIy'' = -M$$

$$M = +Py$$

$$EIy'' + Py = 0$$

$$\text{avec } k = \sqrt{\frac{P}{EI}} \quad \textcircled{1}$$

$$y'' + k^2 y = 0$$

$$y = C_1 \sin kx + C_2 \cos kx$$

$$y(0) = 0 \Rightarrow C_2 = 0 \Rightarrow y = C_1 \sin kx \quad \textcircled{2}$$

$$y(L) = 0 \Rightarrow C_1 \sin kL = 0$$

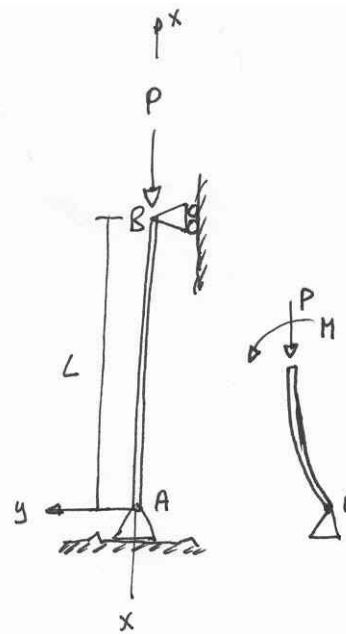
$$\text{si } C_1 = 0 \Rightarrow y = 0 \text{ colonne stable}$$

$$\text{si } \sin kL = 0 \Rightarrow kL = 0, \pi, 2\pi, \dots$$

$$kL = 0 \Rightarrow P = 0 \text{ pas d'intérêt}$$

$$\text{donc } kL = n\pi \quad n = 1, 2, 3, \dots$$

Flambage



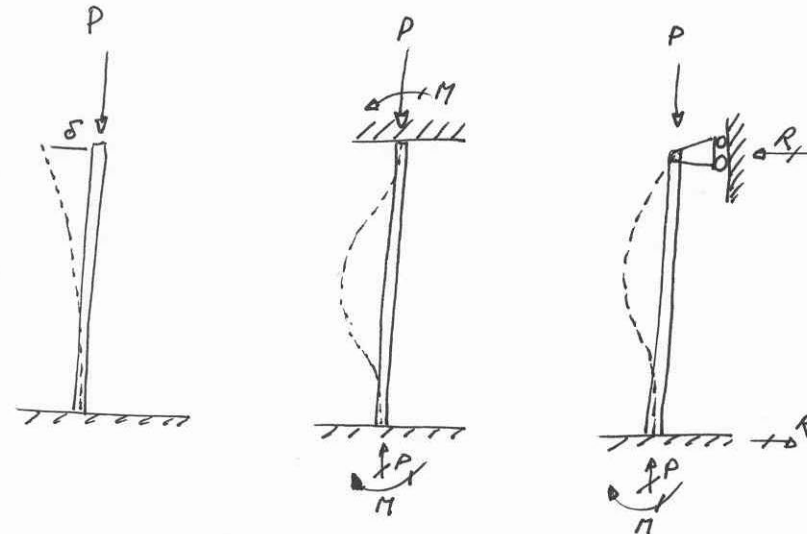
$$\text{donc } kL = n\pi \quad n = 1, 2, 3, \dots$$

$$\textcircled{1} \Rightarrow P = \frac{n^2 \pi^2 EI}{L^2}$$

$$\Rightarrow y = C_1 \sin kx = C_1 \sin \frac{n\pi x}{L}$$

$$n=1 \Rightarrow \text{Portique} = \frac{\pi^2 EI}{L^2}$$

$$\text{Toristique} = \frac{\text{Portique}}{s}$$

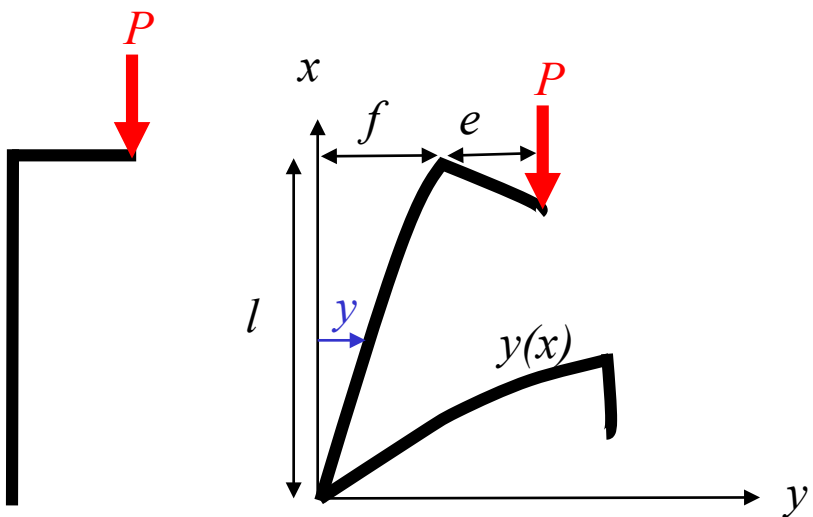


$$y'' + k^2 y = k^2 \delta$$

$$y'' + k^2 y = \frac{R}{EI} (L-x)$$

Flambage

9



$$\left. \begin{array}{l} y'' = -\frac{M}{EI} \\ M = -P(f + e - y) \end{array} \right\} y'' = \frac{P}{EI}(f + e - y) \text{ donc } y'' + \frac{P}{EI}y = \frac{P}{EI}(f + e)$$

La solution est une sinusoïde

$$y = e^{\left(\frac{1-\cos kx}{\cos kl}\right)}$$

$$\text{avec } k = \sqrt{\frac{P}{E \cdot I}}$$

$$y \rightarrow \infty \text{ si } \cos kl = 0$$

$$\Rightarrow kl = \pi/2, 3\pi/2 \dots$$

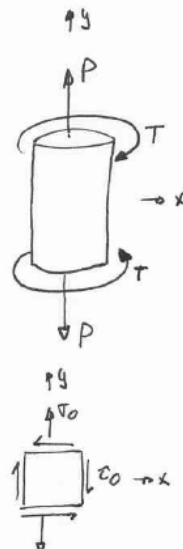
P_c la charge critique qui provoque le flambage

$$P_c = \frac{\pi^2 EI}{(2l)^2} \text{ charge d'Euler}$$

10.2 Révision Hélicoptère

L'axe cylindrique du rotor d'un hélicoptère entraîne la rotation des pales qui soulèvent l'hélicoptère dans les airs. L'axe est donc soumis à de la torsion et de la traction.

Pour un axe de 50 mm de diamètre transmettant un moment de torsion de 2.4 ~~kNm~~ et une force axiale de 125 ~~kN~~, déterminez les contraintes maximales dans l'axe du rotor.



$$\sigma_0 = \frac{P}{A} = \frac{4P}{\pi d^2} = 63,6 \text{ MPa}$$

$$\tau_0 = \frac{M_t \cdot r}{I_p} = \frac{16 M_t}{\pi d^3} = 97,8 \text{ MPa}$$

• contraintes principales

$$\sigma_{1,2} = \frac{\sigma_x + \sigma_y}{2} \pm \sqrt{\left(\frac{\sigma_x - \sigma_y}{2}\right)^2 + \tau_{xy}^2}$$

$$\text{avec } \sigma_x = 0, \sigma_y = \sigma_0, \tau_{xy} = -\tau_0$$

$$\sigma_{1,2} = 32 \pm 103 \text{ MPa}$$

$\sigma_1 = 135 \text{ MPa}$ contrainte max en traction dans le rotor
 $\sigma_2 = -71 \text{ MPa}$ contrainte max en compression dans le rotor

$$\tau_{\max} = \sqrt{\left(\frac{\sigma_x - \sigma_y}{2}\right)^2 + \tau_{xy}^2} = 103 \text{ MPa}$$

Examen B (cf Moodle)

11

Lundi 19 mai 15h15-17h examen B (2/3) en CO3

Vous n'avez droit à aucun document (cours, livres etc ...) autre que 1 feuille recto de vos formules et le formulaire des cas de flexion. Les calculatrices sont autorisées.

???

12